



Министерство науки и высшего образования Российской Федерации  
Федеральное государственное бюджетное образовательное  
учреждение высшего образования  
«Московский государственный технический университет имени Н.  
Э. Баумана  
(национальный исследовательский университет)»  
(МГТУ им. Н. Э. Баумана)

---

ФАКУЛЬТЕТ «Информатика и системы управления»

---

КАФЕДРА «Программное обеспечение ЭВМ и информационные технологии»

---

## ОТЧЕТ ПО ПРАКТИКУМУ №2 по курсу «Архитектура ЭВМ»

«Обработка и визуализация графов  
в вычислительном комплексе Тераграф»

Студент \_\_\_\_\_ Золотухин Алексей Вячеславович

Группа \_\_\_\_\_ ИУ7-54Б

Оценка (баллы) \_\_\_\_\_

Преподаватель \_\_\_\_\_ Ибрагимов С.В.

2022 г.

# Содержание

<b>1</b>	<b>Теоретические сведения о визуализации графов</b>	<b>4</b>
1.1	Алгоритмы раскладки графов . . . . .	4
1.1.1	The Spring Model . . . . .	4
1.1.2	Local Minimum . . . . .	5
1.1.3	Force-Directed Placement . . . . .	6
<b>2</b>	<b>Выполнение практикума</b>	<b>7</b>
	<b>Заключение</b>	<b>10</b>

# Введение

Практикум посвящен освоению принципов представления графов и их обработке с помощью вычислительного комплекса Тераграф. В ходе практикума необходимо ознакомиться с вариантами представления графов в виде объединения структур языка C/C++, изучить и применить на практике примеры решения некоторых задач на графах.

По индивидуальному варианту необходимо разработать программу хост-подсистемы и программного ядра `sw_kernel`, выполняющего обработку и визуализацию графов.

# 1 Теоретические сведения о визуализации графов

Визуализация графа — это графическое представление вершин и ребер графа. Визуализация строится на основе исходного графа, но направлена на получение дополнительных атрибутов вершин и ребер: размера, цвета, координат вершин, толщины и геометрии ребер. Помимо этого, в задачи визуализации входит определение масштаба представления визуализации. Для различных по своей природе графов, могут быть более применимы различные варианты визуализации. Таким образом задачи, входящие в последовательность подготовки графа к визуализации, формулируются исходя из эстетических и эвристических критериев.

## 1.1 Алгоритмы раскладки графов

Раскладка неориентированных графов используется при проектировании топологии СБИС, целью которого является оптимизация схемы для получения наименьшего количества пересечений линий.

Пружинная система запускается со случайным начальным состоянием, и вершины соответственно перемещаются под действием пружинных сил. Оптимальная компоновка достигается за счет того, что энергия системы сводится к минимуму.

### 1.1.1 The Spring Model

Модель spring-embedder была первоначально предложена Eades (1984) и в настоящее время является одним из самых популярных алгоритмов для рисования неориентированных графов с прямолинейными ребрами, широко используемого в системах визуализации информации.

Алгоритм Идеса следует двум эстетическим критериям: равномерная длина ребер и максимально возможная симметрия. В модели Spring-Embedder вершины графа обозначаются набором колец, и каждая пара

колец соединена пружиной. Пружина связана с двумя видами сил: силами притяжения и силами отталкивания, в зависимости от расстояния и свойств соединительного пространства.

### 1.1.2 Local Minimum

Модель spring-embedder привела к созданию ряда модифицированных и расширенных алгоритмов раскладки неориентированных графов. Например, силы отталкивания обычно вычисляются между всеми парами вершин, а силы притяжения могут быть рассчитаны только между соседними вершинами. Упрощенная модель уменьшает временную сложность: вычисление сил притяжения между соседями выполняется за  $O(|E|)$ , хотя вычисление силы отталкивания выполняется за  $O(|V|^2)$ , что является недостатком алгоритмов с  $n$  телами. Камада и Каваи (1989) представили алгоритм, основанный на модели пружинного внедрения Идса, который пытается достичь следующих двух критериев или эвристик рисования графа: количество пересечений ребер должно быть минимальным, а вершины и ребра распределены равномерно.

Цель алгоритма состоит в том, чтобы найти локальный минимум энергии в соответствии с вектором градиента  $\sigma = 0$ , что является необходимым, но не достаточным условием глобального минимума энергии. С точки зрения вычислительной сложности, такой поиск требует большого количества операций, поэтому в реализацию часто включаются дополнительные элементы управления, чтобы гарантировать, что пружинная система не окажется в локальном минимуме. В отличие от алгоритма Идса, который явно не включает закон Гука, алгоритм Камады и Каваи перемещает вершины в новые положения по одной, так что общая энергия пружинной системы уменьшается с новой конфигурацией. Он также вводит понятие желаемого расстояния между вершинами на визуализации: расстояние между двумя вершинами пропорционально длине кратчайшего пути между ними.

### 1.1.3 Force-Directed Placement

Алгоритм Фрухтермана-Рейнгольда основан на модели пружинного встраивания Идса. Он равномерно распределяет узлы, минимизируя пересечения ребер, а также поддерживает одинаковую длину ребер. В отличие от алгоритма Камада-Кавайи, алгоритм Фрухтермана-Рейнгольда использует две силы (силы притяжения и силы отталкивания) для обновления узлов, а не использует функцию энергии с теоретическим графическим расстоянием.

Алгоритм Фрухтермана-Рейнгольда выполняется итеративно, и все узлы перемещаются одновременно после расчета сил для каждой итерации. Алгоритм добавляет атрибут «смещения» для контроля смещения положения узлов. В начале итерации алгоритм Фрухтермана-Рейнгольда вычисляет начальное значение смещения для всех узлов с использованием силы отталкивания ( $f_r$ ). Алгоритм также использует силу притяжения ( $f_a$ ) для многократного обновления визуального положения узлов на каждом ребре. Наконец, он обновляет смещение положения узлов, используя значение смещения.

## 2 Выполнение практикума

Мой вариант №6, поэтому визуализировались данные из необходимого файла №6.

Для визуализации графа был использован код примера с модификацией в файле исходных текстов было реализовано простое чтение текстовых файлов для удобной загрузке большого количества вершин и связей между ними напрямую из файла;

Листинг 2.1 – Модификация файла host\_main.cpp

```
1  unsigned int*
    host2gpc_ext_buffer[LNH_GROUPS_COUNT][LNH_MAX_CORES_IN_GROUP];
2  unsigned int messages_count = 0;
3  unsigned int u, v, w;
4
5  __foreach_core(group, core)
6  {
7      host2gpc_ext_buffer[group][core] = (unsigned
          int*)lnh_inst.gpc[group][core]→external_memory_create_buffer(16
          * 1048576 * sizeof(int)); //2*3*sizeof(int)*edge_count);
8      offs = 0;
9
10     std::ifstream file(argv[3], std::ios::in);
11
12     if (!file.is_open())
13     {
14         std::cout << "Cannot open input file." << std::endl;
15
16         return EXIT_FAILURE;
17     }
18
19     for (std::string line; std::getline(file, line); )
20     {
21         std::vector<std::string> tokens = split(line, '\t');
22
23         if (tokens.size() != 2)
24         {
25             for (auto token : tokens)
26                 std::cout << token << " ";
27             std::cout << std::endl;
28             std::cout << "Incorrect tokens count in file: "
```

```

29         expected_3, got_3" << tokens.size() << "." <<
30         std::endl;
31     }
32
33     u = std::stoul(tokens[0]);
34     v = std::stoul(tokens[1]);
35     w = 1;
36
37     //Граф должен быть связным
38     EDGE(u, v, w);
39     EDGE(v, u, w);
40     messages_count += 2;
41 }
42
43 Inh_inst.gpc[group][core] -> external_memory_sync_to_device(0,
44     3 * sizeof(unsigned int) * messages_count);

```

Полученные изображения графа в box-раскладке и force-раскладке приведены на рисунках 2.1 – 2.2.

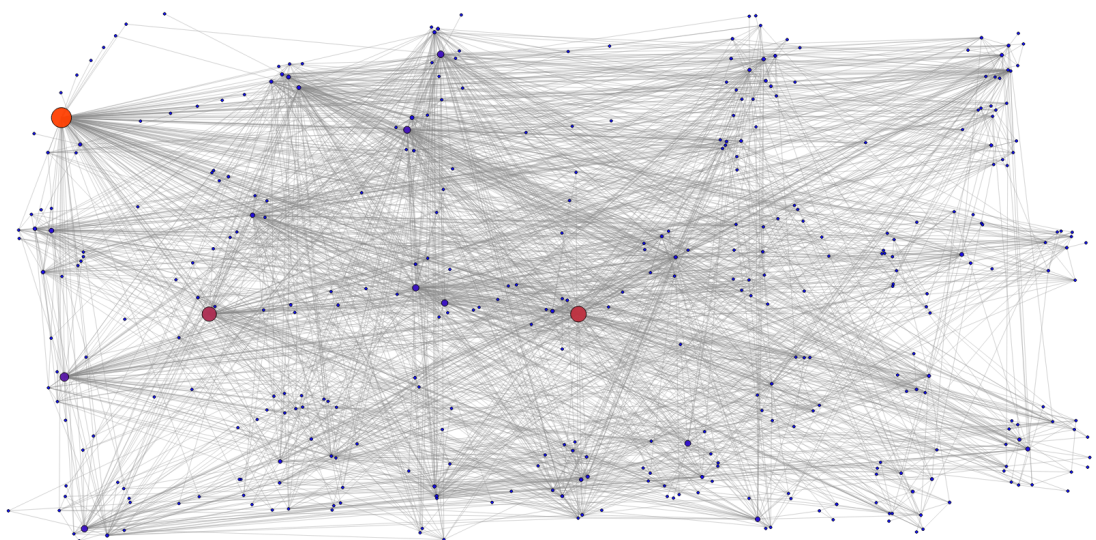


Рисунок 2.1



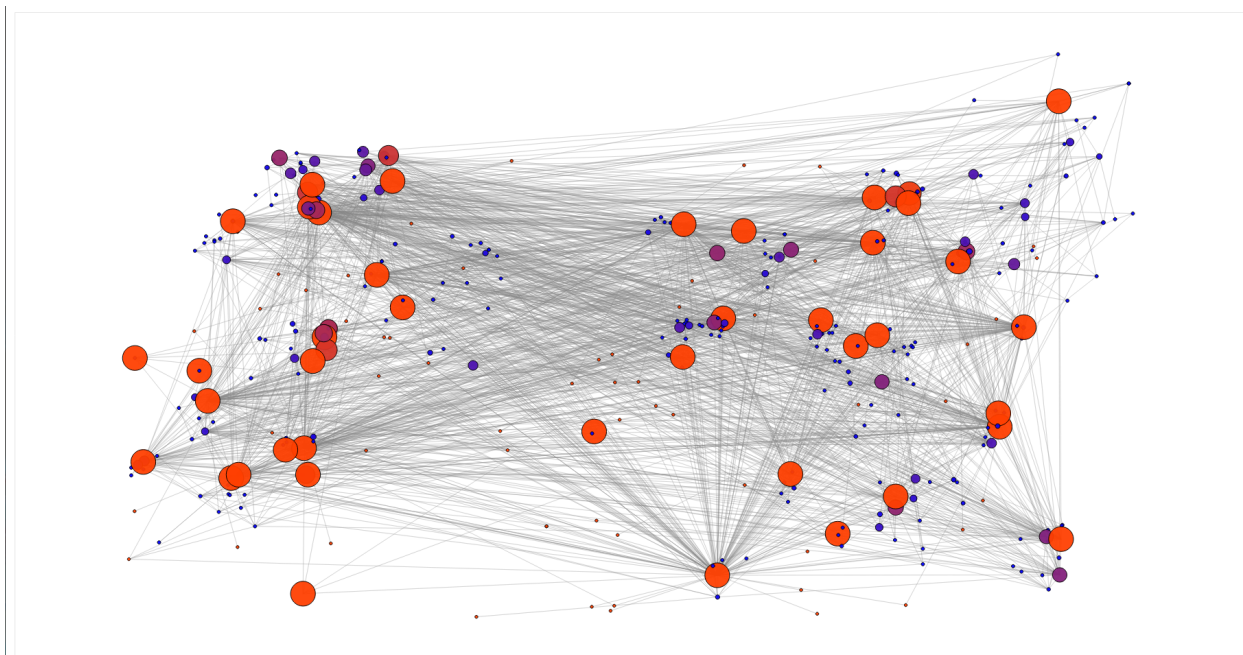


Рисунок 2.2

# Заключение

В данном практикуме были рассмотрены принципы визуализации графов, рассмотрены различные алгоритмы визуализации графов и раскладки графов. Было выполнено задание согласно индивидуальному варианту.